

大阪工業大学土木工学科教室 正会員 工博 川島普

1. 緒言

汚泥の機械的濃縮、脱水方式には真空ろ過法、フィルタープレス法、遠心濃縮法、遠心脱水法、振動スクリーン・フィルター法、ロールプレス法などがあるが、ここではコンプレッション・フィルターの一種としてのロールプレス法について基本的な考察を行った。このロールプレス法は、例えば特殊な形のロールを用いて2段ロール脱水を行うよう設計されたロートプラグコンセントレーターとよばれるものは、現在下水汚泥の脱水に用いられている。ここで取扱つたのは円形断面の同大2ヶの回転ロールの接触弧間ににおける汚泥の脱水機構の解析である。

図-1のようすに上部ロールは加圧用とし、固定軸もつた下部ロールは透水性の表面をもつて2ヶの同大円形ロールの接触弧間に汚泥調節後のかなり濃厚な汚泥(含水率で90%程度)が挿入され脱水する過程を取扱つた。まづ汚泥とロール表面の摩擦力を考慮してロール間隙への汚泥の噴込条件を求めた上で、この場合の直圧力の分布を算出した。連続減少荷重を受ける汚泥の1軸の圧密理論の基礎式と説明し、噴込後の汚泥がロール周速度と等速でこの間隙へ送り込まれるなどの仮定の下で、上部不透水、下部透水性の境界条件と噴込時の直圧力を初期条件とおいてこの基礎式を解いた。噴込点からロール出口までの範囲の脱水過程について、汚泥内の過剰圧力、平均過剰圧力ならびに圧密度の算定式えた。これと用いて、汚泥の平均有効応力、荷重係数を定義して脱水に伴なう汚泥のひずみ式を求めた。汚泥の圧密係数、初期汚泥厚、噴込角、ロールの回転角速度などの諸常数値を与えておいて無次元数としての圧密度と時間係数の関係を数値計算した。加圧用おもりを添加した場合の半径方向圧力と噴込角の関係や荷重係数の値を計算し、これらの値を用いて汚泥の平均有効応力、ロール出口の含水率、ひずみの値を計算して脱水効率の考察を行つた。さらに、荷重速度と荷重係数の関係や荷重速度と噴込角の関係、単位体積当たりのひずみエネルギー算定式とその計算例を示し、ロールプレスにおける妥当な操作法について検討した。

2. ロールプレスにおける汚泥の噴込条件と直圧力

強固なスタンドと軸受けに支えられて回転する2ヶのロールの間に挿入された材料が金属の塑性加工として圧延されるためには、材料とロール表面との間の摩擦力が介して材料とロール間隙に引込み、最小間隙まで連続的に圧縮されねばならない。こうした金属材料については圧延理論があつて圧延圧力の算定式が導かれている。上述のように透水面をもつたロールによる汚泥の圧縮脱水においては、汚泥は圧縮中に脱水分だけ体積を減ざるので金属の場合のようを先進、後進といつた体積不変の現象とは趣を異にする。ただし、汚泥のロール弧間への噴込条件については金属材料の場合と同様の取扱いにより次のようすに考えることができる。図-1を参照。 η_r = 半径方向圧力 (kg/cm^2)、 P_r = 半径方向圧縮力 (kg/cm) = $\eta_r r d\theta$, r = ロール半径 (cm)、 F = 圧縮力による摩擦力 = μP_r (kg/cm)、 μ = 汚泥とロール弧との間の平均摩擦係数、 P_E = 汚泥をロール弧間に引込む水平力 (kg/cm)、 X = 噴込点、 α_0 = 噴込角 (rad.または度) とおくと、 X 点において水平に引込む力は $P_E = F \cos \alpha_0 - P_r \sin \alpha_0$ 、 $P_E = 0$

の場合は自力で噛込まないから、この条件により $F/P_r = \tan\phi$, $\phi = \text{摩擦角} \Rightarrow \tan\phi = \mu = F/P_r \Rightarrow \phi \geq \alpha_0 \quad (1)$

$$\text{垂直圧力は } P_v = P_r \cos\theta + F \sin\theta = P_r (\cos\theta + \mu \sin\theta) \quad (2)$$

ロール弧上の任意点Yにおける垂直応力は、単位奥行きとて

$$\hat{\sigma}_v = P_v / (rd\theta) = P_r (\cos\theta + \mu \sin\theta) \quad (3)$$

式(3)は次のように表わされる。 $\omega = \text{回転角速度} (\text{rad/秒})$, $t = \text{時間 (sec)}$

$$\hat{\sigma}_v = P_r \{ \cos(\alpha_0 - \omega t) + \mu \sin(\alpha_0 - \omega t) \} = P_v(t) \quad (4)$$

式(1)の噛込条件を用いて、 $\mu = 0.1, \dots, 1.0$ の範囲について式(3)により $\hat{\sigma}_v$ を計算すると図-2 のようになる。 ϕ 軸に沿うと $\hat{\sigma}_v$ となる。

3. ロールプレスにおける汚泥の脱水構造の压密理論による解析と弹性学的考察

(a) 压密解析

压密理論による解析にあたって次の仮定ておく。

1) 汚泥はロール周速度と等しい速度でロール弧間に入り脱水される。

すなむち、微小な汚泥柱状体がロール周速度で移動するものとした。

2) 汚泥はロールによる圧縮を受けても幅方向の拡がりはない。

3) 汚泥はロールによる垂直圧力のために透水性構造をもつた

下部ロール内部へ脱水される。

4) 脱水された汚泥はそのうち液分だけ体積を減少する。

噛込点Xにおける初期汚泥厚を l , 柱状体の上端より下方へ x 軸とし, $C_v = \text{圧密係数}$, $U = \text{過剰圧力として連続減少荷重}$ を受ける場合の1軸圧密の基礎式を次の境界条件, 初期条件のもとに解くこととする。

$$\text{基礎式: } \frac{\partial U}{\partial t} = C_v \frac{\partial^2 U}{\partial x^2} + R(t) \quad (5)$$

$$\text{境界条件: } \left(\frac{\partial U}{\partial x} \right)_{x=0} = 0, \quad (U)_{x=l} = 0 \quad (6)$$

$$\text{初期条件: } (U)_{t=0} = P_r (\cos\alpha_0 + \mu \sin\alpha_0) = P_{r0} = \text{Constant} \quad (7)$$

ただし, $R(t) = \partial P_r / \partial t = P_r \omega \{ \sin(\alpha_0 - \omega t) - \mu \cos(\alpha_0 - \omega t) \} = \text{荷重速度 (rate of loading)}$.

$R(t)$ は連続減少荷重であるので直角である。式(6), (7)の条件で式(5)を解くと

$$U(x, t) = \frac{4}{\pi} \sum_{n=0}^{\infty} \frac{(-1)^n}{(2n+1)} \cos \frac{(2n+1)\pi x}{2l} \int_0^t R(t') \exp \left\{ -\frac{C_v(2n+1)^2 \pi^2 (t-t')}{4l^2} \right\} dt' + \frac{4P_{r0}}{\pi} \sum_{n=0}^{\infty} \frac{(-1)^n}{(2n+1)} \exp \left\{ -\frac{C_v(2n+1)^2 \pi^2 t}{4l^2} \right\} \times \cos \frac{(2n+1)\pi x}{2l} = \frac{4P_{r0}\omega}{\pi} \sum_{n=0}^{\infty} \frac{(-1)^n}{(2n+1)} \cos \frac{(2n+1)\pi x}{2l} \left(\frac{1}{\omega^2 + \frac{C_v(2n+1)^2 \pi^2}{4l^2}} \right) \left[(\omega - \frac{C_v(2n+1)^2 \pi^2}{4l^2}) \cos(\alpha_0 - \omega t) - \exp \left\{ -\frac{C_v(2n+1)^2 \pi^2 t}{4l^2} \right\} \sin(\alpha_0) \right] - \exp \left\{ -\frac{C_v(2n+1)^2 \pi^2 t}{4l^2} \right\} \cos(\alpha_0) + \left(\frac{C_v(2n+1)^2 \pi^2}{4l^2} + \mu\omega \right) \left[\sin(\alpha_0 - \omega t) - \exp \left\{ -\frac{C_v(2n+1)^2 \pi^2 t}{4l^2} \right\} \sin(\alpha_0) \right] + \frac{4P_r}{\pi} (\cos\alpha_0 + \mu \sin\alpha_0) \sum_{n=0}^{\infty} \frac{(-1)^n}{(2n+1)} \exp \left\{ -\frac{C_v(2n+1)^2 \pi^2 t}{4l^2} \right\} \cos \frac{(2n+1)\pi x}{2l} \quad (8)$$

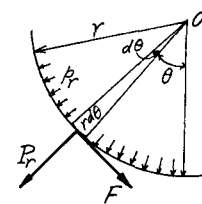
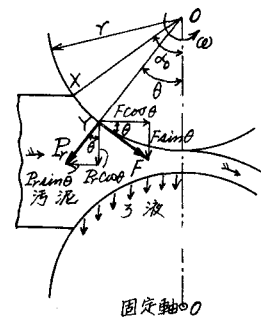


図-1

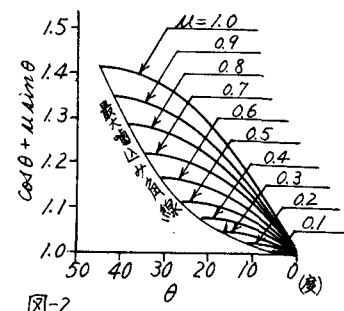


図-2

平均圧効率 \bar{U} は

$$\begin{aligned} \bar{U}(t) &= \frac{1}{\ell} \int_0^{\ell} u(x,t) dx = \frac{8P_r \omega}{\pi^2} \sum_{j=0}^{\infty} \frac{1}{(2j+1)^2} \left(\frac{1}{c\omega^2 + \frac{C_n^2(2j+1)^2 \pi^2}{4\ell^2}} \right) \left[(\omega - \mu \frac{C_n(2j+1)^2 \pi^2}{4\ell^2}) \{ \cos(\phi_0 - \omega t) - \exp[-\frac{C_n(2j+1)^2 \pi^2 t}{4\ell^2}] \} \right. \\ &\quad \left. \cos \phi_0 \right] + \left(\frac{C_n(2j+1)^2 \pi^2}{4\ell^2} + \mu \omega \right) \left[\sin(\phi_0 - \omega t) - \exp[-\frac{C_n(2j+1)^2 \pi^2 t}{4\ell^2}] \sin \phi_0 \right] + \frac{8P_r}{\pi^2} (\cos \phi_0 + \mu \sin \phi_0) \sum_{j=0}^{\infty} \frac{1}{(2j+1)^2} \\ &\quad \exp \left\{ -\frac{C_n(2j+1)^2 \pi^2 t}{4\ell^2} \right\} \end{aligned} \quad (7)$$

(b) 圧効率の算定:

\bar{F}_w = 圧効率のちめる荷重面の時間までの平均面積 = $\frac{1}{t} \int_0^t \int_0^{\ell} u(x,t) dx dt = \frac{\ell}{t} \int_0^t \bar{u}(t) dt$,

\bar{F}_{ot} = 荷重面のちめる時間までの平均面積 = $\frac{\ell}{t} \int_0^t P_o(t) dt$ において、圧効率 U は

$$U = 1 - \frac{\bar{F}_w}{\bar{F}_{ot}} = 1 - \frac{\frac{1}{t} \int_0^t \bar{u}(t) dt}{\frac{\ell}{t} \int_0^t P_o(t) dt} \quad (8)$$

$$\begin{aligned} U &= 1 - \frac{\frac{8}{\pi^2} \sum_{j=0}^{\infty} \frac{1}{(2j+1)^2} \left(\frac{\omega}{c\omega^2 + \frac{(2j+1)^2 \pi^2}{4\ell^2} + \mu \omega} \right) \left[\left(\frac{(2j+1)^2 \pi^2}{4} + \mu \omega \right) \{ \cos(\phi_0 - \frac{\omega}{\lambda} T) - \cos \phi_0 \} - \left\{ \omega - \mu \frac{(2j+1)^2 \pi^2}{4} \lambda \right\} \sin(\phi_0 - \frac{\omega}{\lambda} T) \right. \\ &\quad \left. - \sin \phi_0 \right] + \left(\frac{4\omega}{(2j+1)^2 \pi^2 \lambda} \right) \left[\exp \left(-\frac{(2j+1)^2 \pi^2 T}{4} \right) - 1 \right] \left[\left(\omega - \mu \frac{(2j+1)^2 \pi^2}{4} \lambda \right) \cos \phi_0 + \left(\frac{(2j+1)^2 \pi^2}{4} \lambda + \mu \omega \right) \sin \phi_0 \right] \right] - \\ &\quad \frac{32\omega}{\pi^2 \lambda} (\cos \phi_0 + \mu \sin \phi_0) \sum_{j=0}^{\infty} \frac{1}{(2j+1)^2} \left\{ \exp \left(-\frac{(2j+1)^2 \pi^2 T}{4} \right) - 1 \right\} \end{aligned} \quad (9)$$

ただし、 $\lambda = C_n / \ell^2$ (1/sec)
時間係数 $T = \lambda t$

(c) 平均有效応力 $\bar{\sigma}_s$ 及びひずみ ϵ_s の算定:

時間 t において、有效応力 $\sigma_s = P_o(t) - u$ である。この場合、時間平均をとつて

$$\bar{\sigma}_s = \frac{1}{t} \int_0^t \left(\frac{1}{\ell} \int_0^{\ell} \sigma_s dx \right) dt = \frac{1}{t} \int_0^t \left(\frac{1}{\ell} \int_0^{\ell} P_o(t) dx \right) dt - \frac{1}{t} \int_0^t \left(\frac{1}{\ell} \int_0^{\ell} u dx \right) dt \quad (10)$$

$$一方、\bar{\sigma}_s = \frac{1}{t} (\bar{F}_{ot}) - \frac{1}{t} (\bar{F}_w) \quad (11), \text{ 式(10)より}$$

$$\therefore \bar{\sigma}_s = (\bar{F}_{ot}/\ell) U = \frac{P_r}{t \omega} \left[\mu \{ \cos(\phi_0 - \omega t) - \cos \phi_0 \} - \{ \sin(\phi_0 - \omega t) - \sin \phi_0 \} \right] U \quad (12)$$

式(12)の $(P_r/t \omega) [\mu \{ \cos(\phi_0 - \omega t) - \cos \phi_0 \} - \{ \sin(\phi_0 - \omega t) - \sin \phi_0 \}]$ = 荷重係数 (Y_E) である。比例常数 E_s とおくと、汚泥のひずみ $\epsilon_s = \bar{\sigma}_s / E_s = (Y_E) (P_r/t \omega) [\mu \{ \cos(\phi_0 - \omega t) - \cos \phi_0 \} - \{ \sin(\phi_0 - \omega t) - \sin \phi_0 \}]$ と表わされ、この関係は縦軸に $\bar{\sigma}_s$ とすると直線となる。図-4参照。

(d) 圧効率の計算例:

式(12)において、 $C_n = 0.01 (\text{cm}^2/\text{sec})$, $r = 7.5 (\text{cm})$, ロール最小間隙 = $0.5 (\text{cm})$, 初期汚泥厚 $\ell = 5.38 (\text{cm})$, $\phi_0 = 45^\circ$ ($\mu = 1.0$ N相当), $\omega = 0.159 (\text{rad/sec})$ ($1/6 \text{ RPM}$ 相当)とおくと、ロール出口で $T = 0.0156$, U を数値計算して $U = 0.0694$ となる。 $\phi_0 = 26^\circ 30'$ ($\mu = 0.5$ N相当), $\ell = 2.56 (\text{cm})$ の場合は $T = 0.0402$ で $U = 0.505$ となる。

(e) 荷重係数の計算例:

長さ $75 (\text{cm})$, $r = 12 (\text{cm})$ のロールの材質の単位重量 = $7.8 (\text{kg}/1000 \text{cm}^3)$, おもり $50 (\text{kg}) \times 4 (\text{t})$ の場合の荷重がロール接触弧面の汚泥に均等に作用しているものとし、半径方向圧力 P_r との関係を計算すると次表のようになり、 ϕ_0 の小さい程 P_r の値は大きくなる。

d	45	40	35	30	25	20	15	10	5
$R_f (\text{kg/cm}^2)$	0.670	0.754	0.861	1.000	1.206	1.507	2.010	3.015	6.031

この値を用いて式(15)に示した荷重係数を計算すると図-3となり、 α すなわち μ の小さく程この値は大きくなる。

(f) ロール出口の平均有効応力 $\bar{\sigma}_e$ 、含水率 β_e 、ひずみ ϵ_e の計算例：

上記の計算例による θ - A 関係、半径方向圧力 P_e 及び荷重係数 μ によって、ロール出口の汚泥ケーキの $\bar{\sigma}_e$ 、 P_e 、 ϵ_e を次のように計算することができる。(i) $\mu=1.0$ の場合： $\bar{\sigma}_e = 0.855 \times 0.0694 = 0.059 (\text{kg/cm}^2)$ ； $P_e = \text{初期含水率}(\%)$ 、 $\phi_p = \text{極限吸水率}$ とし、 $A = (P_e - P_0) / (P_e(100 - \beta_e))$ とする。ii) $P_e = 90(\%)$ 、 $\phi_p = 0.80$ として $\beta_e(\%)$ を求める。 $\beta_e = 89.4(\%)$ 、 $P_e = 0.0694 \times 0.80 = 0.055$ となる。(iii) $\mu=0.5$ の場合： $\bar{\sigma}_e = 1.243 \times 0.505 = 0.627 (\text{kg/cm}^2)$ 、 $P_e = 83.2(\%)$ 、 $P_e = 0.505 \times 0.80 = 0.404$ となる。ここで、 $\beta_e = 83.2(\%)$ 、 $\phi_p = 0.66$ において2段ロールを行えば $\beta_e = 74.7(\%)$ となることが注目される。 β_e と $\bar{\sigma}_e$ の計算例を図-4に示す。 α すなわち μ の小さくほど β_e は小さくなり $\bar{\sigma}_e$ は大きくなることがわかる。このことから汚泥試料は薄板にして供給すればよいといえる。

(g) 荷重速度と荷重係数の関係：

$$\text{荷重速度 } R = \frac{dP_e}{dt} = -R \omega [\mu \cos(\delta_0 - \omega t) - \sin(\delta_0 - \omega t)]$$

(h) 荷重係数 μ と R の関係であるので両者の関係を求める

$$\text{荷重係数} = \left\{ -R - P_e \omega [\mu \cos \delta_0 - \sin \delta_0] \right\} / (\omega^2 E_s) \quad (17)$$

$$\text{荷重速度 } R = -\omega [\omega t (\text{荷重係数}) + P_e (\mu \cos \delta_0 - \sin \delta_0)] \quad (18)$$

の関係がえられる。表に示した各値を用いて θ と R の関係を計算すると図-5のようになる。式(18)の右辺第1項は R が支配している。 R は連続減少荷重の場合は負値であるがその値が大きいといふことは荷重一定の場合の解としての式(18)の右辺第2項の値からその負値だけが減少することと意味しており、 α の小さくほど R の値は小さいことを図-5は示している。

(h) 単位体積当りのひずみエネルギー：

$$\frac{W}{V} = (\bar{\sigma}_e \epsilon_e) / 2 = \bar{\sigma}_e^2 / (2 E_s) \quad (19)$$

の関係があることはすでに示した。上記(f)の(i), (ii)の計算例によると $\bar{\sigma}_e$ 、 ϵ_e の値を用いて式(19)を計算すると次のようである。

(i) $\mu=1.0$ の場合：

$$\frac{W}{V} = 0.00162 (\text{kg cm}/\text{cm}^3)$$

(ii) $\mu=0.5$ の場合：

$$\frac{W}{V} = 0.1266 (\text{kg cm}/\text{cm}^3)$$

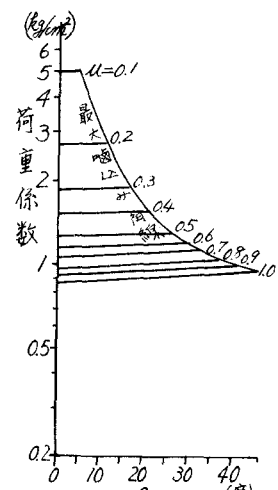


図-3

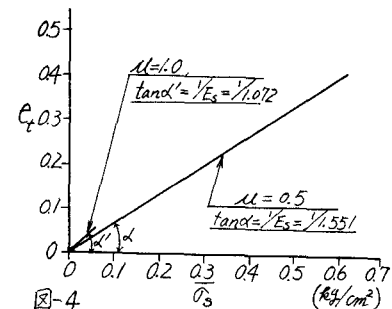


図-4

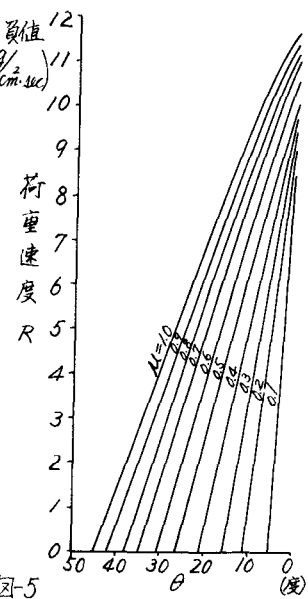


図-5